

Упругие волны в углеродных 2D-супракристаллах

© Р.А. Браже, А.И. Кочаев, Р.М. Мефтахутдинов

Ульяновский государственный технический университет,
Ульяновск, Россия

E-mail: a.kochaev@ulstu.ru

(Поступила в Редакцию 13 января 2011 г.)

Вычислены модули упругости и скорости распространения упругих волн в 2D-супракристаллических наноаллотропах углерода. Показано, что в sp^2 -наноаллотропах эти скорости близки к значениям в графене и вдвое превышают скорости распространения объемных упругих волн в монокристаллическом алмазе. В углеродных 2D-супракристаллических sp^3 -наноаллотропах скорости распространения как продольных, так и поперечных упругих волн в разы меньше, чем в sp^2 -наноаллотропах.

Работа поддержана грантом РФФИ (проект № 10-02_97002-р_поволжье_a).

В работе [1] с помощью модифицированного метода Давыдова [2] нами были рассчитаны константы центрального (α) и нецентрального (β) взаимодействий атомов углерода в 2D-супракристаллах в сравнении с графеном. Используя эти константы и руководствуясь основной на модели Китинга [3] схемой, предложенной в другой работе Давыдова [4], можно определить упругие постоянные описанных в [1] 2D-супракристаллов и оценить скорости распространения в них упругих волн, что и составляет цель настоящей работы. При этом необходимо получить отсутствующие в [4] выражения через α и β для модулей упругости 2D-супракристалла типа $(X)_{44}$, принадлежащего к классу симметрии $4mm$.

Соответствующая структура представлена на рис. 1. Помещая начало координат в „нулевом“ атомном комплексе, можно найти энергии центрального W_C и нецентрального W_{NC} взаимодействий [4]:

$$W_C = \frac{\alpha}{d^2} \sum_{i=1}^4 (\mathbf{R}_{0i}^2 - \mathbf{r}_{0i}^2)^2,$$

$$W_{NC} = \frac{\beta}{d^2} \sum_{i,j>1}^4 (\mathbf{R}_{0i}\mathbf{R}_{0j} - \mathbf{r}_{0i}\mathbf{r}_{0j})^2. \quad (1)$$

Здесь α и β — константы центрального и нецентрального взаимодействий соответственно, d — длина ребра супрачейки (выражается через длину связи), где $\mathbf{R}_{0i} = \mathbf{r}_{0i} + \delta\mathbf{r}_{0i}$, $\delta\mathbf{r}_{0i} = u_{0i}\mathbf{i} + v_{0i}\mathbf{j}$ — смещение i -го атомного комплекса при деформации решетки. Координаты конца вектора смещения u_{0i} и v_{0i} по осям x и y соответственно имеют вид

$$u_{01} = u' - \frac{\sqrt{2}}{2} de_{xx} + \frac{\sqrt{2}}{4} de_{xy},$$

$$u_{02} = u' + \frac{\sqrt{2}}{2} de_{xx} + \frac{\sqrt{2}}{4} de_{xy},$$

$$u_{03} = u' + \frac{\sqrt{2}}{2} de_{xx} - \frac{\sqrt{2}}{4} de_{xy},$$

$$u_{04} = u' - \frac{\sqrt{2}}{2} de_{xx} - \frac{\sqrt{2}}{4} de_{xy},$$

$$v_{01} = v' + \frac{\sqrt{2}}{2} de_{yy} - \frac{\sqrt{2}}{4} de_{xy},$$

$$v_{02} = v' - \frac{\sqrt{2}}{2} de_{yy} + \frac{\sqrt{2}}{4} de_{xy},$$

$$v_{03} = v' - \frac{\sqrt{2}}{2} de_{yy} + \frac{\sqrt{2}}{4} de_{xy},$$

$$v_{04} = v' - \frac{\sqrt{2}}{2} de_{yy} - \frac{\sqrt{2}}{4} de_{xy}, \quad (2)$$

где u' и v' — внутренние смещения, а e_{xx} , e_{yy} , e_{xy} — компоненты тензора деформации.

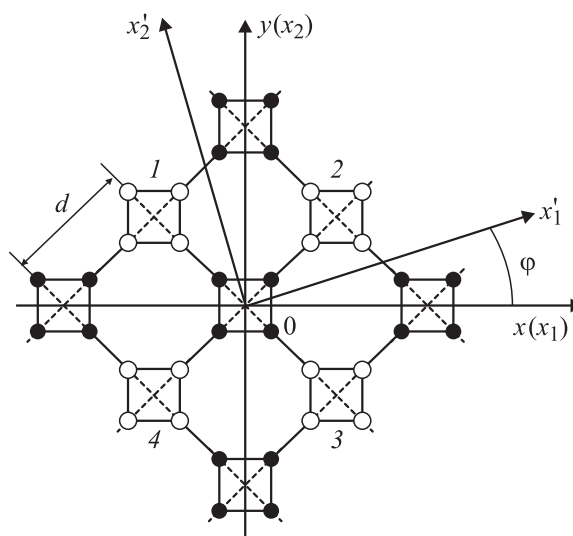


Рис. 1. Установка структуры $(X)_{44}$ относительно кристаллофизических осей x , y . 1–4 — номера атомных комплексов.

Разложим (1) с учетом (2) в ряд по u_{0i} и v_{0i} , ограничившись членами второго порядка, затем минимизируем полную упругую энергию $W = W_C + W_{NC}$ по внутренним смещениям, полагая $\partial W / \partial u' = \partial W / \partial v' = 0$. Это даст нам выражение для плотности упругой энергии $w = W/S$ в функции $\alpha, \beta, e_{xx}, e_{yy}, e_{xy}, e_{xy}$, где $S = d^2$ — площадь, приходящаяся на одну супрачейку. Его можно сравнить с соответствующим выражением для двумерной структуры класса $4mm$ из [5]

$$w = \frac{1}{2} \lambda_{xxxx} (e_{xx}^2 + e_{yy}^2) + \lambda_{xxyy} e_{xx} e_{yy} + 2\lambda_{xyxy} e_{xy}^2. \quad (3)$$

Так как в (3) $\lambda_{xxxx} = c_{11}, \lambda_{xxyy} = c_{12}, \lambda_{xyxy} = c_{33}$ [6], получаем выражение для отличных от нуля компонентов тензора модулей упругости для 2D-супракристалла типа $(X)_{44}$ в виде

$$c_{11} = \frac{4(2\alpha + 3\beta)}{(1 + \sqrt{2})^2}, \quad c_{12} = \frac{4(2\alpha - \beta)}{(1 + \sqrt{2})^2}, \quad c_{33} = \frac{2\alpha + \beta}{(1 + \sqrt{2})^2}. \quad (4)$$

Применение данной схемы к 2D-супракристаллам с гексагональной супрачейкой [1] приводит к таким же выражениям для независимых модулей упругости, что и для графеноподобных систем [4],

$$c_{11} = \frac{1}{\sqrt{3}} \left(4\alpha + \beta + 18 \frac{\alpha\beta}{4\alpha + \beta} \right),$$

$$c_{12} = \frac{1}{\sqrt{3}} \left(4\alpha + \beta - 18 \frac{\alpha\beta}{4\alpha + \beta} \right). \quad (5)$$

Перейдем теперь к рассмотрению особенностей распространения упругих волн в 2D-супракристаллах, трактуя их как двумерный континуум, в котором возможны смещения частиц лишь в плоскости кристалла, как это неявно предполагалось выше. Оболоченные волны типа Лява и др. на этом этапе из рассмотрения исключаем.

В произвольном направлении x'_1 (рис. 1) могут распространяться в общем случае одна квазипродольная и одна квазипоперечная упругие волны, описываемые уравнением Грина–Кристоффеля [7]

$$\rho_2 v^2 u_\alpha = \lambda_{\alpha\beta\gamma\delta} a_{1\beta} a_{1\delta} u_\gamma, \quad (6)$$

где ρ_2 — двумерная (в данном случае) плотность среды, v — фазовая скорость волны, u_α и u_γ — компоненты смещения частиц, $\lambda_{\alpha\beta\gamma\delta}$ — тензор модулей упругости, $a_{1\beta}$ и $a_{1\delta}$ — элементы матрицы-столбца направляющих косинусов

$$\begin{pmatrix} a_{11} \\ a_{12} \end{pmatrix} = \begin{pmatrix} \cos \varphi \\ \sin \varphi \end{pmatrix}. \quad (7)$$

Скорости квазипродольной и квазипоперечной волны являются корнями соответствующего характеристического уравнения

$$|\lambda_{\alpha\beta\gamma\delta} a_{1\beta} a_{1\delta} - \rho_2 v^2| = 0 \quad (8)$$

и зависят от модулей упругости кристалла, его плотности и направляющих косинусов. Подобная задача

успешно решена для трехмерных кристаллов. Более того, существуют компьютерные программы построения 3D-поверхностей фазовых скоростей упругих волн, распространяющихся в таких кристаллах [8,9]. Они могут быть использованы и для построения 2D-линий фазовых скоростей в двумерных кристаллах. Направления распространения чисто продольных и чисто поперечных упругих волн соответствуют экстремальным значениям соответствующих фазовых скоростей и перпендикулярны касательным к линиям скоростей в точках экстремумов [10].

Аналитические методы расчета направлений распространения чистых мод упругих волн предложены в работах [11–16]. Их применение приводит для эффек-

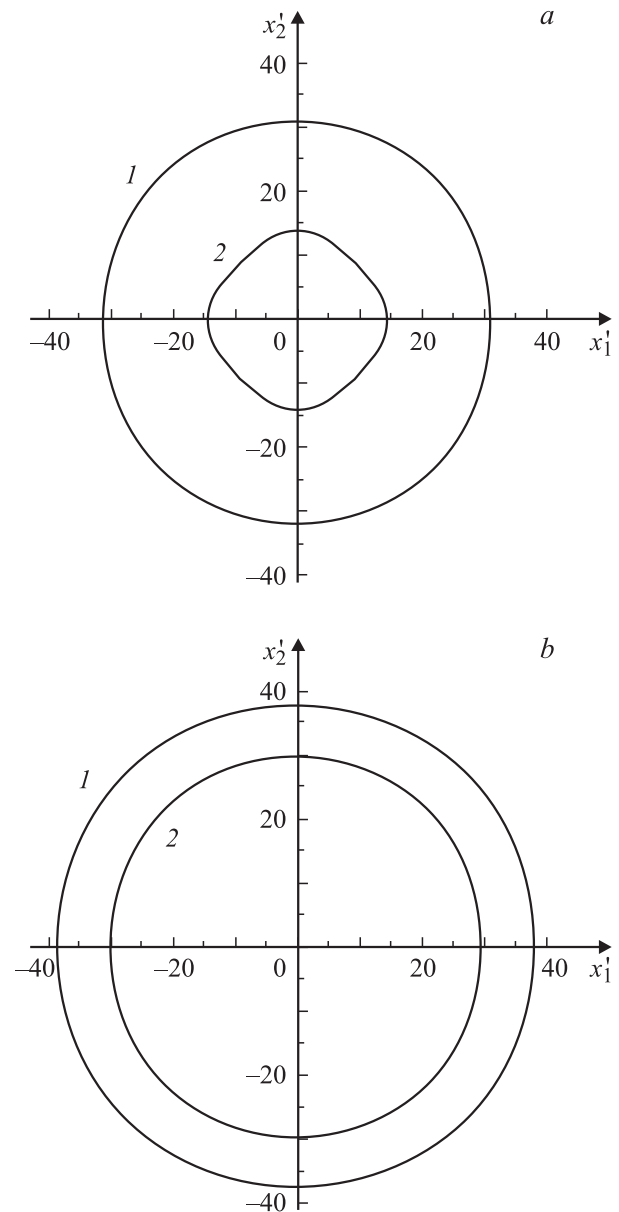


Рис. 2. Линии фазовых скоростей (km/s) продольных (1) и поперечных (2) упругих волн в 2D-супракристалле $(C)_{44}$ (a) и графене (b).

Таблица 1. Удельные поверхности углеродных 2D-структур

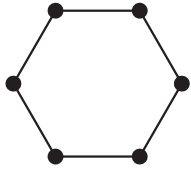
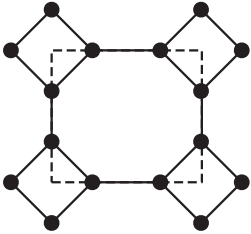
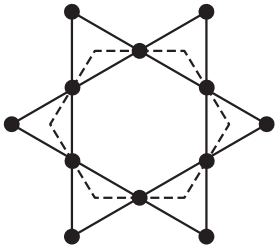
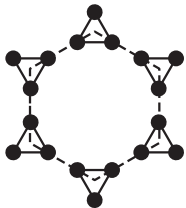
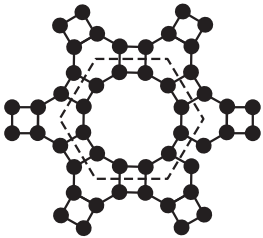
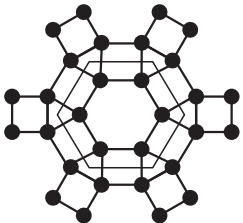
Структура		Удельная поверхность	
Вид ячейки	Обозначение	Формула	$s, 10^6 \text{ m}^2/\text{kg}$
	$(C)_6$	$s = \frac{3\sqrt{3}}{2} \frac{N_A}{\mu} l^2$	2.63
	$(C)_{44}$	$s = \frac{1}{2} (1 + \sqrt{2})^2 \frac{N_A}{\mu} l^2$	2.99
	$(C)_{63(6)}$	$s = \frac{4\sqrt{3}}{2} \frac{N_A}{\mu} l^2$	4.01
	$(C)_{63(12)}$	$s = \frac{\sqrt{3}}{6} (2 + \sqrt{3})^2 \frac{N_A}{\mu} l^2$	5.79
	$(C)_{664}$	$s = \frac{\sqrt{3}}{12} (3 + \sqrt{3})^2 \frac{N_A}{\mu} l^2$	3.94
	$(C)_{634}$	$s = \frac{\sqrt{3}}{6} (1 + \sqrt{3})^2 \frac{N_A}{\mu} l^2$	5.09

Таблица 2. Характеристики упругих волн в углеродных 2D-структурах

Параметр	(C) ₆	(C) ₄₄	(C) ₆₃₍₆₎	(C) ₆₃₍₁₂₎	(C) ₆₆₄	(C) ₆₃₄
c_{11} , N/m	533	328	9.84	75.7	361	10.5
c_{12} , N/m	331	215	6.15	47.1	226	6.52
c_{33} , N/m		68				
v_L , 10 ³ m/s	37.4	31.3–31.9	6.30	20.9	37.7	7.30
v_T , 10 ³ m/s	29.5	13.0–14.3	5.00	16.5	29.8	5.80

тивных модулей упругости в случае чисто продольной и чисто поперечной волн в 2D-кристаллах к следующим выражениям:

класс $4mm$

$$\lambda'_{1111} = (\sin^4 \varphi + \cos^4 \varphi)c_{11} + 2 \sin^2 \varphi \cos^2 \varphi (c_{12} + 2c_{33}),$$

$$\lambda'_{2121} = (\cos^4 \varphi + \sin^4 \varphi)c_{33} + 2 \sin^2 \varphi \cos^2 \varphi (c_{11} - c_{12} - c_{33}), \quad (9)$$

$$\varphi = n \frac{\pi}{4}, \quad n = 0, 1, 2, \dots, 7;$$

класс $6mm$

$$\lambda'_{1111} = c_{11}, \quad \lambda'_{2121} = \frac{1}{2} (c_{11} - c_{12}). \quad (10)$$

Скорости распространения чисто продольной и чисто поперечной волн соответственно находятся из выражений

$$v_L = \sqrt{\lambda'_{1111}s}, \quad v_T = \sqrt{\lambda'_{2121}s}, \quad (11)$$

где $s = \rho_2^{-1}$ — удельная поверхность кристалла. Ее значения для углеродных 2D-супракристаллов в сравнении с графеном (C)₆ представлены в табл. 1. В соответствующих формулах N_A — число Авогадро, $\mu = 0.012 \text{ kg/mol}$ — молярная масса (углерода), l — длина связи [1].

На рис. 2 показаны линии фазовых скоростей упругих волн в 2D-супракристалле (C)₄₄ и графене, построенные с использованием компьютерной программы, основанной на решении уравнения Грина–Кристоффеля. Из него видно, что в структуре (C)₄₄, принадлежащей к классу симметрии $4mm$, существуют четыре направления (через каждые 45°), в которых могут распространяться чистые моды упругих волн. Графен, как и остальные 2D-супракристаллы, принадлежащие к классу симметрии $6mm$, является акустически изотропной двумерной средой.

В табл. 2 представлены результаты вычислений скоростей распространения продольной и поперечной упругих волн в углеродных 2D-структурах из табл. 1 по формулам (9)–(11). Крайя диапазона значений скорости соответствуют чисто продольным и чисто поперечным волнам, распространяющимся под углами $\varphi_1 = 0$ и $\varphi_2 = 45^\circ$ к оси x_1 .

Из анализа результатов, представленных на рис. 2 и в табл. 2, следует, что скорости распространения упругих волн в графене почти вдвое превышают их значения для объемных волн в алмазе [17]. Близки к ним значения скоростей упругих волн и в 2D-супракристаллах (C)₄₄, (C)₆₆₄. Правда, за счет малой величины c_{33} по сравнению с c_{11} и c_{12} скорость чисто поперечной волны в структуре (C)₄₄ существенно меньше, чем в графене и в структуре (C)₆₆₄. Несколько меньшими значениями характеризуются скорости распространения упругих волн в структуре (C)₆₃₍₁₂₎. Что касается двумерных углеродных sp^3 -наноаллотропов, то в них скорости распространения упругих волн в несколько раз меньше, чем в sp^2 -наноаллотропах углерода, что связано с их гораздо худшими упругими характеристиками [1].

Приведенные результаты носят оценочный характер и нуждаются в экспериментальной верификации. Тем не менее они представляют интерес с точки зрения перспектив использования 2D-супракристаллов в устройствах двумерной акустоэлектроники и акустооптики.

Список литературы

- [1] Р.А. Браже, А.А. Каренин, А.И. Кочаев, Р.М. Мефтахутдинов. ФТТ **53**, 7, 1406 (2011).
- [2] С.Ю. Давыдов. ФТТ **52**, 756 (2010).
- [3] P.N. Keating. Phys. Rev. **145**, 637 (1966).
- [4] С.Ю. Давыдов. ФТТ **52**, 172 (2010).
- [5] Л.Д. Ландау, Е.М. Лифшиц. Теория упругости. Наука, М. (1987). 248 с.
- [6] Дж. Най. Физические свойства кристаллов. Мир, М. (1967). 386 с.
- [7] E.B. Christoffer. Ann. di matematica pura ed applicata **8**, 193 (1877).
- [8] M. Duarte, C. Piedrahita, T. Salinas, H. Altamar, K. Pachano. Earth Sci. Res. J. **8**, 1, 63 (2004).
- [9] Laboratory for scientific visual analysis. URL: <http://www.sv.vt.edu>.
- [10] T.C.T. Ting. Acta Mechanica **185**, 147 (2006).
- [11] F.E. Borgnis. Phys. Rev. **98**, 1000 (1955).
- [12] K. Brugger. J. Appl. Phys. **36**, 759 (1965).
- [13] Z.P. Chang. J. Appl. Phys. **39**, 5669 (1968).
- [14] Р.А. Браже, М.А. Григорьев, В.И. Наянов. ФТТ **17**, 886 (1975).
- [15] Р.А. Браже, А.И. Кочаев. Изв. вузов. Поволжский регион. Физ.-мат. науки **3**, 116 (2010).
- [16] Р.А. Браже, А.И. Кочаев. Радиоэлектронная техника. Межвуз. сб. науч. тр. УлГТУ, Ульяновск (2010). Т. 40.
- [17] C.M. Flannery, M.D. Whitfield, R.B. Jackman. Semicond. Sci. Technol. **18**, S86 (2003).